

علاقة جديدة لحساب التبخر - نتح الحقيقي اليومي
NOUVELLE RELATION POUR CALCULER L'EVAPORATION
TRANSPiration REELLE JOURNALIERE

الدكتور أحمد الخضر
مدرس في كلية الزراعة
جامعة تشرين

قمنا بتحديد علاقة جديدة يمكن أن تعطي التبخر - نتح الحقيقي (ETR) انطلاقاً من معطيات تجريبية بسيطة ، حيث عبر عن الطلب الطيفي المناخي في هذه العلاقة بالتبخر - نتح الكامن (ETP) ، وعن حالة العرض المائي للتربة بكمون الماء فيها معدلاً بداللة مقاطع الجذور (ΨS) وذلك كالتالي : $ETR = \alpha + \beta_1 ETP + \beta_2 \bar{\Psi} S$ حيث :

$\alpha , \beta_1 , \beta_2$ هي معاملات التراجع المتعدد والمعتمدة على نوع التربة وعلى طبيعة المناخ ، هذه العلاقة هي في الواقع ، مشابهة لعلاقات الباحث " ايكلمان " التي أوجدها عام ١٩٢٦ ، حيث تم اختبار صحتها تحت ظروف مخبرية محكمة وتحت الظروف الحقلية عن طريق مقارنتها مع الطرق الأخرى المعروفة .

" كلمات مفاتيح " : تبخر - نتح ، كمون مائي ، مقاطع جذور ، ميزان مائي ، ميزان طاقي .

١ - مقدمة :

للتبخر والنتح الحقيقي ، فإن الطرق المباشرة لقياسه لازالت شاقة ومكلفة جداً (استخدام الليزيميترات مثلاً) ، كذلك فإن الطرق غير المباشرة لازالت في طور البحث، ولازال هناك حاجة إلى الكثير من التحقيقات التجريبية قبل تعميم استعمالها ، ناهيك عن أنها هي الأخرى بحاجة إلى أجهزة متقدمة ولتكليف مرتفعة نسبياً (استخدام الأشعة تحت الحمراء والأمراح فوق الصوتية ...) . أمام هذه المسؤوليات في قياس التبخر والنتح الحقيقي ، فقد اقترح بعض الباحثين علاقات رياضية لحسابه ، يمكن أن نذكر منها بعض العلاقات النظرية المعتمدة على ميزان الطاقة كعلاقة العالم " بوشيه " عام ١٩٦٤ (Bouchet, 1964) ومعادلة

تحتل معرفة التبخر - نتح (التبخر والنتح) الحقيقي مكانتها المرموقة على الصعيد الزراعي ، خاصة في المناطق الجافة وشبه الجافة من العالم ، وذلك لأنه تتحدد على ضوئها الاحتياجات المائية للمحاصيل الزراعية وبالتالي فإنها تساهم في تحديد المقدرات المائية التي يتوجب الري بها دون هدر بالماء ، باعتبار مصادره محدودة في مثل هذه المناطق التي تنضوي ضمنها معظم المدن في العالم . أضف إلى كل هذا وذاك ، فإن التبخر والنتح الحقيقي هو أحد المعايير المستعملة لتحديد فعالية مياه الري وللتنبؤ بمستوى الانتاج الزراعي (Renger, 1987; Ehlers et al., 1987) . رغم هذه الأهمية الملحوظة

اختياره لإجراء تجربة أخرى تحت الظروف الطبيعية، كما سترى فيما بعد. لقد استخدمنا في تجربتنا المخبرية كوسط للزراعة أسطوانة مصنوعة من البولي فيلين غليكول (P.V.C) ارتفاعها الداخلي يساوي ٥٦ سم وقطرها يساوي ٣٥ سم (مساحة مقطعها ٢٩٦٢ سم^٢) مغلفة بأوراق من الألمنيوم المبطن بطبقة عازلة منعاً لتأثير عناصر الجو بشكل جانبي على الوسط الداخلي للإسطوانة المحتوية على فتحات مخصصة لغرس أحاجرة قياس توتر الماء (Tensiometres) في مقطع التربة. أما قاعدة هذه الإسطوانة فهي مثقبة وموصولة بأنابيب لصرف الماء الزائد عن السعة الحقلية، كما هو موضح في الصورة رقم ١، Photo 1. تحتوي هذه الإسطوانة على مقطع من تربة الحقل التجاريي تتوضع فوق طبقة من الحصى لتسهيل عملية الصرف. لقد تم وضع هذه الإسطوانة المحتوية على مقطع التربة في غرفة مكيفة، حيث عناصر الجو المحيط شبه ثابتة (درجة الحرارة ١٧ - ١٨°، الرطوبة النسبية ٨٥ - ٨٠٪، مدة الإضاءة اليومية ١٦ ساعة وبشدة قدرها ١٠٠٠ لوكس) تمت بعد ذلك زراعة التربة ببذور نبات الأصبعية (*Dactylis glomerata* L.). بعد تسميد التربة بسماد متوازن يحتوى على العناصر السمادية الثلاثة (N P K) . أما الري فقد كان يجري باستخدام محليل الصرف بعد تهويتها واكتمالها بكمية من الماء كافية لتعويض ما فقد منه بالتبخر والنتح خلال الفترة الواقعية بين زرتيتين متتاليتين، التي تراوحت بين يوم واحد في بداية التجربة لتمل في نهايتها إلى ١٦ يوماً (يوم، يومين، ٢، أيام، أيام ٨ أيام ١٦، يوماً) . كذلك فقد تم إجراء قياسات يومية للتباخر والنتح باستخدام

(Brunet ١٩٨١) ، ومن ثم بعض العلاقات نصف التجريبية المعتمدة على ميزان الطاقة وعلى رطوبة التربة، والتي أشهرها علاقـة الباحث "ايكلمان" عام ١٩٧١ (Eagleman, 1971) يمكن تصنـيف علاقـتنا الجديدة المقترـحة مع العلاقات نصف التجـيـبية باعتبارـها تعتمـد على مـيزـان الطـاـقة وعـلـى توـتر مـاء التـرـبة وكـثـافـة المـجمـوع الجـذـري في الـاعـماـق المـخـتـلـفـة من التـرـبة . وـنـحن نـسـتـعـرـض هـذـه الـعـلـاقـةـ المقـتـرـحةـ فـاـنـا لـسـأـلـ أنـ تكونـ صـالـحـةـ لـلاـسـتـعـصـمـاـزـ فيـ كـافـةـ الـاـتـرـبـةـ وـمـخـتـلـفـ اـنـوـاعـ الـمـنـاخـ باـعـتـبـارـهاـ قدـ أـعـطـتـ نـتـائـجـاـ مـخـبـرـيـةـ وـحـقـلـيـةـ وـاعـدـةـ .

٢ - طرق البحث :

قـعـنـاـ فـيـ خـذـهـ الـدـرـاسـةـ بـاـخـتـارـ مـدىـ صـحـةـ عـلـاقـتـناـ المـقـتـرـحةـ لـحـابـ التـبـخـرـ وـالـنـتـحـ اـنـحـيقـيـقـيـ فـيـ وـسـطـ مـخـبـرـيـ مـحـكـمـ ، حيثـ الـظـرـوفـ الـمـحـيـطـ شـبـهـ ثـابـتـةـ ، ثمـ اـنـتـقـلـنـاـ بـعـدـهـاـ لـاـخـبـارـ صـحـتـهاـ تـحـتـ الـظـرـوفـ الـحـقـلـيـةـ حيثـ عـنـاصـرـ الـمـنـاخـ مـتـغـيـرـةـ ، وـذـكـ بـمـقـارـنـةـ الـنـتـائـجـ الـمـسـتـحـصلـ عـلـيـهـاـ بـاستـخـدامـ هـذـهـ الـعـلـاقـقـةـ مـعـ الـنـتـائـجـ الـمـسـتـحـصلـ عـلـيـهـاـ بـاستـخـدامـ الـطـرـقـ الـأـخـرـيـ الـمـعـرـوفـ هـادـفـيـنـ بـاـسـتـخـدامـ الـطـرـقـ الـأـخـرـيـ الـمـعـرـوفـ هـادـفـيـنـ مـنـ وـرـاءـ ذـكـ الـىـ اـعـطـاءـ صـيـفـتـنـاـ المـقـتـرـحةـ طـابـعـ الـعـمـومـيـةـ .

١٠٢ - في الظروف المخبرية

نفذت تحت الظروف المخبرية تجربة طويلة المدى على مقطع من التربة حيث العناصر المناخية محبكة وشبه ثابتة . ١٠١٠٢- التجهيزات والمعدات التجريبية المستخدمة :

اقتطعت التربة المستخدمة في هذه التجربة، من الطبقة الزراعية لحقل تم

بأنها لم تغط سطح التربة فحسب ، بل أنها امتدت إلى خارج إطار محيط الأسطوانة كما هو واضح في الصورة رقم ٢ (Photo 2) وهذا في حين أن العناصر الجوية المؤثرة على التبخر والتنتح بقيت شبه ثابتة (شدة الإضاءة) الفترة الضوئية ، درجة الحرارة ، بعد الهواء عن الاشباح بخار الماء ،سرعة الرياح ، . . .) لذلك فإنه من غير المستغرب أن تكون العلاقة بين التبخر والتنتح الحقيقي وبين الزمن بعد الزراعة علاقة معقدة جداً .

٢٠١٠٢ - العلاقة بين التبخر والتنتح الحقيقي وبين كمون ماء التربة :

يمكن تفسير حركة الماء بين التربة والنبات والجو المحيط بالاستناد إلى نظرية van den Honert, 1948 التي طبقها وطورها العديد من الباحثين أمثال Hallaire, 1964, Gardener, 1960, Berger, 1971, Van Bavel, 1974, Black, 1979 - Khodre, 1984

في الواقع تنطلق جميع هذه الأعمال من تطبيق قانون " اوم " على شدة التدفق المائي المعتبرة على أنها خارج قسمة فرق الكمون المائي على مجموع المقاومات التي تعرّض تدفق الماء في مسیرته المفترضة. من جهة أخرى ، بما أن مصدر كامل التدفق المائي بين التربة والغلاف الجوي(التبخر) وكذلك قرابة كامل التدفق المائي بين النبات والجو المحيط (التنتح) هو التربة (في حالة النتح هناك تدفق مائي ضئيل مصدره النبات نفسه كما أشار إلى ذلك العديد من الباحثين أمثال :

Berger 1981 , KAterji et al, 1983 فإن العلاقة بين التدفق المائي وكمون الماء ضمن التربة يمكن أن تمدنا بمعلومات مهمة جداً عن ظروف التبخر والتنتح . لقد استطعنا من خلال هذه الدراسة أن نوضح

ميزان قبان وقياسات يومية أخرى لتتوتر ماء التربة ، باستخدام جهاز قياس توتر الماء المفروسة على بعد ١٢٥ سم من محيط الأسطوانة المملوءة بالتربة والموزعة على ستة أعماق (١١، ١٥، ٢٤، ٣٤، ٤٤، ٥٣ سم). أخيراً فقد تم تحديد الكثافة الجذرية للنبات المزروع على طبقات بسمك ٥ سم داخل مقطع التربة ، بغية حساب كمون الماء المعدي في هذه الطبقات بدالة كثافة الجذور .

٢٠١٠٣ - النتائج والمناقشة :

يوضح التبخر والتنتح الحقيقي المقاس بين اليوم ٢٩ واليوم ٨٣ بعد الزراعة ومن أجل فترة بين ريتين تباعد بين ١ و ١٦ يوماً سلوكاً معقداً جداً ، حيث نلاحظ من خلال الشكل رقم (١) تزايداً مستمراً للتبخر والتنتح الحقيقي مع تقدم الزمن بعد الزراعة عندما يكون الري يومياً ، بينما يستقر أو يتناقص بين اليوم ٤٦ واليوم ٦٢ بعد الزراعة مع ازدياد لحمة هذا التناقض بازدياد الفترة الفاصلة بين ريتين متتاليتين . إن هذا السلوك يعكس في الواقع توازناً بين العديد من العوامل معاً الفصل عن بعضها البعض ، فالكتلة الحيوية للنبات تزداد مع زيادة زراعتها مسطح المجموع الخضري وسطح الجذور، وتزداد الحالة هذه حركة الماء عبر النبات باتجاه الغلاف الجوي . بالمقابل فإن جفاف التربة الذي يتبعه تزايد كمون الماء فيها (S) يزداد بنفس الوقت مع تزايد عمر النبات ومع تباعد الفترة الفاصلة بين ريتين ، كذلك فإن تغيرات السطح المبخر سيكون لها دور مهم في تغيرات التبخر والتنتح الحقيقي، وذلك لأننا نستطيع اعتبار النباتات كأفراد معزولة في بداية التجربة، لأن أوراقها لا تغطي إلا جزءاً من سطح مقطع التربة ، بينما يلاحظ في نهاية التجربة

ال الخاصة بقياسات كمون الماء داخل التربة العنفة على عمق ٧ سم ، باعتبارها تسمح بتحليل دقيق ومفصل لتأثير العوامل المدروسة هنا ، حيث تلاحظ امكانية ضبط النقاط التجريبية عند العمق المذكور أعلاه بعلاقة قطع زائد من الشكل التالي :

(ETR / 14 S1 = f(1/14 S1)) من جهة أخرى ، يوضح التمثيل اللوغاريتمي للعلاقة السابقة (شكل رقم ٤) خطية جيدة مع توزع متوازن وطبيعي للنقاط التجريبية حول مستقيم التراجع الخطى، بحيث نستطيع أن نكتب والحالة هذه العلاقة التالية :

$$ETR / 14 S1 = 10^{2,193} \cdot 10^{0,764}$$

مع وجود معامل ارتباط (ز) قوي ويأوى ٩٨٢% . فضلاً عن ذلك، فإن المقارنة بين مميزات ضبط النقاط التجريبية توضح بشكل عام تناقصاً تدريجياً للميل (ز) ولمعامل الارتباط (ز) مع ازدياد العمق، كما في الجدول رقم (١) ، حيث يمكن أن يعزى ذلك إلى تناقص الكشافة الجذرية . في النهاية فإنه يمكن ضبط مجال النقط التجريبية مهما كان العمق بمستقيم تراجع خطى وحيد من الشكل

$$ETR / 14 S1 = 10^{2,288} \cdot 10^{0,776}$$

بوجود معامل ارتباط قدرة ٩٦٠% . مهما يكن شكل القطع الزائد الممثل للعلاقة بين النسبة E_1 / S_1 وبين $14 S_1$ ، فإنه يعطي قيمة تقريرية للتباخر والتنفس الحقيقي في ظروف متغيرة من التغذية المائية ومن مراحل تطور النبات، وذلك عن طريق تحديد بسيط لكمون الماء ضمن التربة . من أجل اعطاء هذه العلاقة معنى أكثر شمولية، فقد كان من المتوجب تحديد الناقلة المائية للمنظومة البيئية الاتصالية تربة - نبات - غلاف جوي حيث يتطلب ذلك تحديداً

تواجد علاقة بصورة قطع زائد بين المعامل $\frac{ETR}{S}$ وبين القيمة المطلقة لكمون الماء في التربة ، حيث يمتد الشكل رقم (٢) بالمنحنيات المحددة لل نقاط المستحصل عليها تجريبياً، مستخدمين في ذلك جميع القياسات الخاصة بكمون الماء ضمن التربة، مهما كان العمق المأخوذ عنده، ومهما كانت تكرارية الري المسبعة . في الواقع ، لم يسمح لنا العدد الكبير لل نقاط التجريبية من تمثيلها فردياً، لكن مع ذلك، فإنه من الواضح على الشكل أن عدم الانتظام في المنحني المعبر عن تعديلات التباخر والتنفس الحقيقي بدالة الزمن (شكل رقم ١)، يمكن تفسيره انطلاقاً من تغيرات كمون الماء ضمن التربة . لقد أوضح الاختبار المفضل للنتائج بأن المنحني العلوي المحدد لل نقاط التجريبية يقترب إلى الأفراد النباتية الأكثر عمراً ، بينما تتوضع النقاط الممثلة للأفراد النباتية الفتية على مقربة من المنحني السفلي، وبأن النقاط التجريبية لا تتتوسط على خط القطع الزائد بصورة دقيقة سوى في نهايته، عندما تكون القيمة المطلقة لتواتر الماء التربة أكبر من ١٨٠ سم ماء ، حيث إن الأفراد النباتية الممثلة لهذه النقاط التجريبية هي في الواقع ذات عمر كبير وسطوح تبادلية كبيرة . في مثل هذه الحالة تصبح العلاقة بين تواتر الماء التربة وبين التباخر والتنفس الحقيقي في ظل ظروف مناخية ثابتة واضحة دون غموض . إن لهذا الطور النهائي من القطع الزائد دلالات ذات أهمية بالغة، وذلك لأنه يشير إلى أننا إذا استطعنا إيجاد علاقة بين التباخر والتنفس الحقيقي وبين كمون الماء ضمن التربة، فإن هذه العلاقة ستكون دقيقة بشكل كاف عند ما يبلغ النبات نموه الكامل، وهذا ما ينطبق على حالة المروج المؤقتة والدائمة . اقتصرنا في الشكل رقم ٣ على النقاط التجريبية

جدول رقم (١)

r	b	العمق سم
٠٩٨٢	٠٧٦٤	٧
٠٩٧٧	٠٧١٦	١١
٠٩٥٤	٠٧٢٦	١٥
٠٩٤٥	٠٧٠٨	٢٤
٠٩٤١	٠٧٠٠	٣٤
٠٨٦٢	٠٥٤٩	٤٤

ونتـح حـقـيقـي في ظـلـ نـظـامـ رـيـ أـكـثـرـ تـبـاعـداـ،ـ يـمـكـنـ اـسـتـنـاـجـهـ انـطـلـاقـاـ مـنـ مـنـحـنـيـ التـبـخـرـ وـالـنـتـحـ حـقـيقـيـ عـنـدـمـاـ يـكـوـنـ الـرـيـ يـوـمـيـاـ (ـ رـاجـعـ الشـكـلـ رـقـمـ (١)ـ ـ مـنـ جـهـةـ أـخـرىـ ،ـ فـقـدـ تـمـ تـعـدـيلـ كـمـوـنـ الـمـاءـ ضـمـنـ التـرـبـةـ عـلـىـ مـخـتـلـفـ أـعـماـقـهـ المـدـرـوـسـهـ بـالـتـبـعـيـهـ لـمـقـطـعـ الـجـذـورـ الـمـسـتـحـصـلـ عـلـيـهـ فـيـ نـهـاـيـهـ التـجـرـبـةـ ،ـ وـذـلـكـ بـفـرـبـ كـمـوـنـ الـمـاءـ الـوـسـطـيـ عـنـدـ كـلـ عـمـقـ (١٧ـ)ـ بـالـنـسـبـةـ $\frac{BRI}{BRT}$ ـ حـيـثـ :ـ

BRI: الكـتـلـةـ الحـيـوـيـةـ لـلـجـذـورـ عـنـدـ عـمـقـ ١ـ

BRT: الكـتـلـةـ الحـيـوـيـةـ الـكـلـيـةـ لـلـجـذـورـ فـيـ كـامـلـ الـمـقـطـعـ الـمـعـتـبـرـ لـلـتـرـبـةـ .ـ

بـهـذـهـ طـرـيـقـةـ فـانـنـاـ نـسـطـيـعـ التـعـبـيرـ عـنـ الـكـمـوـنـ الـوـسـطـيـ الـمـعـدـلـ لـمـاءـ التـرـبـةـ (S_{ETP})ـ

بـالـشـكـلـ التـالـيـ :

$$\bar{S} = \psi_1 \cdot \frac{BR_1}{BRT} + \psi_2 \cdot \frac{BR_2}{BRT} + \dots$$

$$+ \psi_N \cdot \frac{BRN}{BRT}$$

هـذـهـ طـرـيـقـةـ الـمـتـبـعـةـ فـيـ تـعـدـيلـ كـمـوـنـ مـاءـ التـرـبـةـ مـشـابـهـ لـلـطـرـيـقـةـ الـمـقـتـرـحةـ مـنـ قـبـلـ الـبـاحـثـيـنـ (Van-Bavel et Ahmed, 1976)

لـقـدـ تـمـ تـحلـلـ النـتـائـجـ الـمـسـتـحـصـلـ عـلـيـهـاـ

لـتـغـيـرـاتـ كـمـوـنـ الـمـاءـ ضـمـنـ النـبـاتـ وـضـمـنـ الـغـلـافـ الـجـوـيـ ،ـ الـأـمـرـالـذـيـ لـمـ نـفـعـهـ ،ـ وـالـذـيـ كـانـ وـرـاءـ عـدـمـ ذـهـابـنـاـ إـلـىـ أـبـعـدـ مـاـ ذـهـبـنـاـ إـلـيـهـ فـيـ تـحـلـلـ النـتـائـجـ الـمـسـتـحـصـلـ عـلـيـهـاـ .ـ

٢٠٢٠١٠٢ـ العـلـاقـةـ المـقـتـرـحةـ لـحـسابـ التـبـخـرـ وـالـنـتـحـ حـقـيقـيـ الـيـوـمـيـ :

بـماـ أـنـ التـبـخـرـ وـالـنـتـحـ الـكـامـنـ الـمـعـرـفـ منـ قـبـلـ الـعـالـمـ "ـ بـنـمـانـ"ـ (Penman, 1956)ـ ثـابـتـ خـلـالـ تـجـربـتـنـاـ الـمـخـبـرـيـةـ فـيـ وـقـتـ يـتـزـاـيدـ فـيـهـ النـتـحـ مـعـ تـزاـيدـ السـطـوـحـ الـوـرـقـيـةـ وـالـجـذـرـيـةـ لـلـنـبـاتـ ،ـ فـانـهـ مـنـ الـمـنـطـقـيـ التـفـكـيرـ بـأنـنـاـ يـمـكـنـ أـنـ نـتـوـصـلـ إـلـىـ تـعـمـيمـ لـلـعـلـاقـةـ بـيـنـ التـبـخـرـ وـالـنـتـحـ حـقـيقـيـ وـبـيـنـ كـمـوـنـ الـمـاءـ ضـمـنـ التـرـبـةـ ،ـ عـنـدـمـاـ يـكـوـنـ التـبـخـرـ وـالـنـتـحـ الـكـامـنـ الـمـنـاخـيـ مـتـغـيـراـ،ـ أـيـ عـنـدـمـاـ يـكـوـنـ :

$$ETR = f(ETP, \psi S)$$

لـقـدـ اـعـتـيـرـنـاـ بـهـذـاـ الصـدـدـ أـنـ التـبـخـرـ وـالـنـتـحـ الـكـامـنـ مـساـوـيـ بـالـتـقـرـيـبـ لـلـتـبـخـرـ وـالـنـتـحـ حـقـيقـيـ عـنـدـمـاـ يـتـمـ رـيـ النـبـاتـ يـوـمـيـاـ مـسـتـنـدـيـنـ فـيـ ذـلـكـ عـلـىـ أـعـمـالـ الـمـؤـلـسـيـفـ "ـ بـوشـيـهـ"ـ (Bouchet, 1964)ـ ،ـ وـبـالـتـالـيـ فـانـ التـبـخـرـ وـالـنـتـحـ الـكـامـنـ الـمـقـابـلـ لـلـتـبـخـرـ

بأنه من الممكن الحصول على التبخر والتنشح النسبي ETR/ETP انطلاقاً من الرطوبة النسبية للترابة (Hr) حيث $\frac{Ha - Hf}{Hc - Hf} = Hr$ وذلك باستخدام الصيغة التجريبية التالية :

$$ETR / ETP = A + B(Hr) + C(Hr)^2 + D(Hr)^3$$

مع العلم أن : A ، B ، C ، D هي معاملات التراجع المتعدد العوامل Ha : هي الرطوبة الحالية للترابة Hf : هي الرطوبة عند نقطة الذبول Hc : هي الرطوبة عند السعة الحقلية

Eagleman, 1971 كذلك فقد حمل الباحث على علاقة احصائية تجريبية تعطي التبخر والتنشح الحقيقي (ETR) انطلاقاً من التبخر والتنشح الكامن (ETP) ومن الرطوبة النسبية للترابة (Hr) وذلك كالتالي :

$$ETR = 0,732 - 0,050(ETP) + [4,97(ETP) - 0,661(ETP)^2] Hr - [8,570 (ETP) - 1,56(ETP)^2] Hr^2 + [4,35 (ETP) - 0,88(ETP)^2] Hr^3$$

لقد استخدمنا هذه النماذج من العلاقات من قبل العديد من المؤلفين بغية تمثيل (modélisation) التبخر والتنشح الحقيقي اليومي (انظر Yu et al., 1957) . من وكذلك Cornet, 1981 . خلال استعراضنا السريع للعلاقتين السابقتين، نجد بأنهما تستندان على التبخر والتنشح الكامن والرطوبة النسبية لحساب التبخر والتنشح الحقيقي ، فإذا علمنا أن الارتباط وثيق بين الرطوبة النسبية للترابة وكمون الماء فيها، فاننا سنجد أن مزايياً علاقتنا المقترحة تكمن في قدرتها على تبسيط الحد $\frac{Ha - Hf}{Hc - Hf}$ ، وذلك باستبداله بكمون الماء ضمن الترابة الأسهل تحديداً في

من التابع ($ETR = f(ETP, \bar{\psi}_S)$) باستخدام برنامج متعدد العوامل (راجع برامج الحسابات البيولوجية B.M.D.P لعام ١٩٧٩) ، حيث حصلنا من هذا التحليل على العلاقة التالية

$$ETR = 0,34058 + 0,87908 ETP + 0,00743 \bar{\psi}_S$$

وجود معامل ارتباط متعدد يساوي ٠,٩٥٧٠ . وخطاً فياسي يساوي ٣٢٩٥ . في التقدير التبخر والتنشح الحقيقي، ويمثل الشكل رقم (٥) العلاقة بين قيمة التبخر والتنشح الحقيقي المحسوبة انطلاقاً من العلاقة المذكورة أعلاه (ETR_C) وبين قيمة المقابلة مباشرة (ETR_0) . علاوة على ذلك فقد أوضح التحليل المميزات الاحصائية التالية :

- يظهر اختبار الاحتمالية توزعاً طبيعياً للقيم المتباعدة ($ETR_0 - ETR_C$)
- يشير اختبار " F " بأن التراجع المتعدد ذو معنى جوهري، وذلك لأن قيمة F بلغت ١٧٤,٢١٨ .
- توضح مصفوفة الارتباط بين متغيرات التابع ($ETR = f(ETP, \bar{\psi}_S)$) وجود القيم التالية

	ETR	ETP	$\bar{\psi}_S$
ETR	1	-	-
ETP	0,949	1	-
$\bar{\psi}_S$	0,729	0,839	1

لو قارنا العلاقة المقترحة أعلاه مع العلاقات الأخرى المقترحة في هذا المجال، فاننا سنجد أنها الأكثر بساطة وأسهل استعمالاً وبأنها قريبة من بعض الموديلات الرياضية البسيطة المستعملة لحساب التبخر والتنشح الحقيقي (Goodall, 1969) . فعلى سبيل المثال، أوضح الباحثان Denmead et Shaw, 1962

(الغوفسور والبوتاسيوم) والعناصر المضمنة ، فقد أضيفت بشكل متوازن إلى كافة القطع . لقد حددت في هذا الحقل التجاري خصائص الوسط الداخلي للتراب (وصف آفاق مقطع التربة ، تحاليل البناء ، والقوام والتحاليل الكيميائية ، الكثافة الظاهرية ، تغيرات الرطوبة الحجمية ، تغيرات كمون الماء والحملة المائية في التربة ، تغيرات مستوى الماء الأرضي ، مراقبة التوابع الهيدروديناميكية للتربة ، مراقبة درجة حرارة التربة والانتشار الحراري على الأعماق المختلفة ،) ، كذلك فقد تمت مراقبة تغيرات عناصر الجو (القدرة البخارية للهواء ، الهطولات ، درجات الحرارة العظمى والصغرى ، سرعة الرياح ، النساع الاجمالى ، مدة السطوع الشمسي اليومى ،) وتوضح الصورة رقم (٣) (Photo 3) (بعض الأجهزة المستخدمة في تحديد خصائص الوسط الداخلي للتربة ولعناصر الجو ، والتي رمز لها بالأحرف G, F, E, D, C, B, A)

حيث :

A : تمثل من الأعلى نحو الأسفل مقاييس مدة السطوع الشمسي (هليوغراف Héliographe) وشدة الشعاع الإجمالي (بيرانومتر Pyranomètre)
B : تمثل طريقة اقتطاع عينات التربة باستخدام الأسطوانات الفولاذية لتحديد الكثافة الجذرية .
C : حفرة في الحقل التجاري استعملت لوصف مقطع التربة .
D, E : منظر إجمالي للحقل التجاري حيث تظهر فيه شبكة ري بالرذاذ ومقاييس لسرعة الرياح وقفص خشبي يحتوي على مقاييس لدرجات الحرارة العظمى والصغرى وعلى مبخر البيش لقياس قدرة الهواء على تبخير الماء ، كذلك يظهر في الصورتين D, E محطات قياس

الظروف الحقلية دون احداث تغيير ملحوظ في مقطع التربة (قياس غير مدمر) .

٢٠٢ - في الظروف الحقلية :

نجد تحت ظروف طبيعية متغيرة ، تجربة طويلة المدى ، في حقل مخصص لذلك ، كانت قد أجريت على مقطع من تربة التجربة المخبرية التي قمنا باستعراضها آنفا .

١٠٢٠٢ - التجهيزات والمعدات التجريبية

لقد كان الهدف من اجراء هذه التجربة الحقلية هو اختبار مدى قدرة العلاقة المقترنة لحساب التبخر والتنفس الحقيقي في الظروف المخبرية على تقدير هذه الظاهرة تحت ظروف طبيعية متغيرة ، حيث استخدمنا من أجل ذلك حقولا تجريبيا مستطيل الشكل ابعاده 25×16.5 مترا مكون من ١٢ قطعة مستطيلة متساوية الابعاد $(25 \times 20.5 \text{ رام})$ مفصولة عن بعضها بأحد عشر ممراً متساوية الابعاد $(25 \times 20 \times 3.6 \text{ رام})$. تمت زراعة المقطع المستطيل على خطوط متباعدة بمقدار ٥ سم (Dactylis glomerata) ببذور نبات الأصبعية -

التجريبي أربعة أنواع من المعاملات المائية والأزوتية ، بحيث خصم لكل معاملة ثلاث قطع بمثابة مكررات (شكل رقم ٦) أي ان المعاملات كانت كالتالي :

- قطع مرؤية ومسددة بالأزوت $(H^+ N^+)$
- قطع مرؤية بدون تسميد آزوتني $(H^+ N^-)$
- قطع بدون ري مع تسميد آزوتني $(H^- N^+)$
- قطع بدون ري وبدون تسميد آزوتني $(H^- N^-)$

أما العناصر السمادية الأخرى

للعلاقة بين قيم التبخر والنتح الحقيقى اليومي المحسوبة باستخدام الصيغة
هو مستقيم منطبق تقريباً على المنصف (شكل رقم ٧)، حيث تأخذ معادلته الشكل

التالى :

$$ETR(Brunet) = 0,042 + 1,037 ETR(Bouchet)$$

مع وجود معامل ارتباط قوي ($r=0,997$)

٢٠٢٠٢ - التبخر والنتح الحقيقى المستخرج من الميزان المائي (ETR b.h)

اقتصرت عدة موديلات لاستخراج التبخر والنتح الحقيقى انطلاقاً من الميزان المائي، والتي نذكر منها العلاقات الرياضية المبدئية المجردة (Goodall, 1969; Rambal, 1980)، ثم الموديلات التجريبية، وأخيراً Franquin et Forest, 1977 الموديلات التحليلية التي تستخدم قانون دارسي "بغية حساب تدفق الماء" (Rose et al., 1972) والمستخلصات الجذرية (Rose, 1966; Vachaud et al., 1978; Humbert, 1982).

لقد تم حساب التبخر والنتح الحقيقى خلال دراستنا الحالية انطلاقاً من الميزان المائي البسيط، وذلك في بعض الفترات الجافة نسبياً (في حالة عدم وجود صرف أوجريان سطحي وباهتمام ما يقصد من الماء بالخاصية الشعرية، حيث استخدمت الصيغة المبسطة التالية في حسابه

$$ETR_{b.h} = [(P + I) - \Delta S]^{60}_0$$

مع العلم أن: $P + I$ هو مجموع كميات المياه المستقبلة من ΔS ، التربة (مم ماء) سواء عن طريق الأمطار (P) أو عن طريق الري (I)، أما ΔS^{60}_0 فهي عبارة عن تغيرات المخزون المائي ضمن الطبقة المحصورة بين سطح التربة والعمق ٦٠ سم

حرارة التربة ومراعزاً قياس توتر ماء التربة .

F : تمثل المبعثر النيتروجين الذي استخدم لقياس الرطوبة الحجمية للتربة .

G : تمثل المبعثر العاماني تروني المستعمل لقياس الرطوبة الحجمية والكثافة الطاهرية للتربة بآن واحد .

٢٠٢٠٢ - الشائئ والمناقشة :

هدف التثبت من صحة العلاقة سلف التجريبية التي قمنا باقتراحها في الفقرة ٢٠٢٠١٠٢ ومن قدرتها على حساب التبخر والنتح الحقيقى تحت ظروف طبيعية متغيرة ومتداخلة، فقد قمنا بمقارنة نتائجها مع نتائج الطرق الأخرى المعروفة المعتمدة على الموازين المائية والطاافية، آملين من كل هذا وذاك أن نصب على علاقتنا المقترحة صبغة التعميم

٢٠٣٢٠٢ - التبخر والنتح الحقيقى المحسوب باستخدام ميزان الطاقة (ETR b.e)

لقد تم حساب التبخر والنتح الحقيقى المعتمد على ميزان الطاقة باستخدام صيغة المؤلف بوشيه (Bouchet, 1964) وكذلك صيغة الباحث (Brunet, 1981) وكذلك باستخدام صيغة الباحثين (Priestley et Taylor, 1972) من أجل حساب التبخر والنتح الحدي (ETPO) المعروف من قبل الباحث (Perrier, 1975) وذلك باعتماد معامل تافق وسطي لكتلة الهواء بساوى ٢٦٪ (NAJJAR, 1982). لقد دلت نتائج المقارنة بين قيم التبخر والنتح الحقيقى المحسوبة بآن صيغة BRUNET و Bouchet متقاربتان جداً، وذلك لأن مستقيم التراجع الخطى الممثل

جديداً متعلقاً بأهمية الغطاء النباتي
معبراً عنه بالدليل الورقي ، كذلك فقد
أدخل Cornet, 1981 إليها معالماً
يدعى معامل استهلاك النبات للماء الذي
يكبر مع تطور الغطاء النباتي
(Clement et Galand, 1979) لقد
أففت دراستنا لنبات الأصبعية في الظروف
المخبرية المراقبة إلى علاقة تعطي التبخر
والنتح الحقيقي اليومي اعتباراً من التبخر
والنتح الكامن والكمون الوسطي للماء المعدل
في التربة بالتبعية لمقطع الجذور (S_φ)
بحيث يكون :

$$ETR = 0,34058 + 0,879 ETP - 0,00743 \bar{\psi}_S$$

حيث : ETR و ETP هما على التوالي
تبخر والنتح الحقيقي والكامن معبراً عنهما
المليميتر ماء في اليوم .

S_φ هو الكمون الوسطي المعدل للماء التربة
معبراً عنه بالستيميتر ماء ، أما درجة
نمو النباتات فقد تمثلت في علاقتنا
السابقة عن طريق استخدامها في تعديل
كمون الماء عند كل عمق من أعمق مقطع
التربة المستعمل من قبل الجذور النباتية،
وذلك يضرب الكمون الوسطي للفاء في الفترة
المعتبرة (φ) بالمعامل الوسطي
(K_i=B_{Ri}/BRT) K_i
للتعديل أي أن S_φ يصبح بالشكل التالي :

$$\bar{\psi}_S = \bar{\psi}_1 \cdot \frac{B_{R1}}{BRT} + \bar{\psi}_2 \cdot \frac{B_{R2}}{BRT} + \bar{\psi}_N \cdot \frac{B_{RN}}{BRT} = \sum_{i=1}^{i=n} \bar{\psi}_i \cdot \frac{B_{Ri}}{BRT} = \sum_{i=1}^{i=n} K_i$$

$$\bar{\psi}_i \cdot K_i$$

لقد استحصل على المعامل الوسطي
للتعديل في الحقل التجاري باستخدام
مقطعي تجذير متوسطة ممثلة لمرحطة
نمو النبات المزروع (يمثل كل مقطع
متوسط ستة مقاطع منفذة بنفس التاريخ) ،
ويعطي الجدول أدناه القيم الوسطية لمعاملات

مقاسة بالمليميتر ماء .
لقد قمنا بتمثيل العلاقة بين
قيم التبخر والنتح المحسوب باستخدام
الميزان المائي المبسط، وبين قيمة المحسوبة
باستخدام ميزان الطاقة بالأشكال رقم
٨ و ٩ حيث يظهر من خلال هذه الأشكال
بأن هناك علاقة خطية يمكن التعبير عنها
بطريقتين بحسب الصيغة المستخدمة
لحساب التبخر والنتح الحقيقي انتلاقاً من
ميزان الطاقة :

$$ETR_b.h = 0,249 + 0,952 ETR \text{ (Bouchet)}$$

$$r = 0,982$$

$$ETR_b.h = 0,250 + 0,943 ETR \text{ (Brunet)}$$

$$r = 0,984$$

يظهر أن هذين الشكلين قريبان من
بعضهما البعض وأن قيمة التبخر والنتح
ال حقيقي المحسوبة باستخدام الميزان المائي
أعلى بقليل من قيمة المحسوبة باستخدام
ميزان الطاقة . في الواقع ، وكما أشار
العديد من المؤلفين (Daudet et valancogne, 1976 ; cornet, 1981)
التبخر والنتح الحقيقي المحسوبة باستخدام
الميزان المائي المبسط لاعكس الحقيقة
دائماً، وذلك لأن مخزوننا ثابت من الماء
ضمن التربة يمكن أن يفسر بطريقتين ،
 فهو إما أن ينتج عن تدفق مائي معどوم ،
واما أن ينتج عن نظام مائي مستمر .

٣٠٢٠٢- التبخر والنتح الحقيقي

المحسوب من علاقتنا المقترنة

$$(* ETR)$$

اقتصر العديد من المؤلفين علاقات تجريبية
ترتبط بين التبخر والنتح وبين رطوبة
التربة (Denmead et shaw, 1962 ; Van Bavel , 1967)
وتعتبر علاقة Van Bavel في هذا المجال
العلاقة الأكثر استعمالاً حيث عدلت من
قبل Hanson, 1976، ودخل إليها معالماً

للتتعديل (\bar{K}_i) ولمعاملات التغير (C.V) حيث: $\frac{\text{انحراف عن المتوسط}}{\text{المتوسط}} \times 100 = C.V$

مقطع الجذور الثاني				مقطع الجذور الأول				العمق سم
$\bar{B}R_i$	C.V	\bar{K}_i	C.V	$\bar{B}R_i$	C.V	\bar{K}_i	C.V	
٣٢٤٤	١٤٩٠٩	٢٦٢٨	٢١٠٣	٢٩٦٠	١٦٥٣٢٩	٤١٤١	٥٠	
٠٩٤٩	١٠٥٧٥	٧٠٧٣	١٨٣٧	١٢٥١	١٩٢٢	٢٥١	١٠٥	
٠٩٥٠	١٧٩٥١	٧١٩٠	١٢٠٢	١١٢٢	١٥١٢٥	٣٥٥	١٥١٠	
٠٩٥٥	٢٨١٩١	١٥٤١٥	٢٤٦٨٧	٢٥٢٥٨	٢٥٠٤٨	٢٥٠	٢٠١٥	
٠٩٥٩	٢١٣٩٩	٢١٨٤	٣٦٢٤	١٦٧٢	١٩٨٥٠	٤٢٥	٣٠٢٠	
٠٩٦٦	١٤٢٢٤	-	-	١٣٨٤٥	١٣٥٩٩	-	-	المجموع

بالطرق الثلاث السابقة، وبالتحديد فقد قادت هذه المقارنة الى المعادلات الخطية التالية:
 $ETR^* = 0,018 + 0,904 ETR$ (Bouchet) ,
 $r = 0,952$
 $ETR^* = 0,039 + 0,879 ETR$ (Brunet) ,
 $r = 0,963$
 $ETR^* = 0,457 + 0,987 ETR_{b.h}$,
 $r = 0,998$

٣ - خاتمة :

من خلال هذا الاستعراض للعلاقة التي قمنا باقتراحها لحساب التبخر والتنفس الحقيقي اليومي ، ومن خلال مقارنة النتائج المستحصل عليها باستخدامها في الظروف المخبرية مع نتائج الطريقة الوزنية المباشرة، كذلك من مقارنة النتائج المستحصل عليها باستخدامها تحت الظروف الطبيعية مع النتائج المستحصل عليها باستخدام الطرق الأخرى

توضح الاشكال رقم ٧ ، ٨ ، ٩ العلاقة بين التبخر والتنفس الحقيقي المحسوب باستخدام الصيغة التي قمنا باقتراحها (ETR^*) وبين التبخر والتنفس الحقيقي المحسوب باستخدام ميزان الطاقة (ETR_{Brunet} ، $ETR_{Bouchet}$)، وكذلك التبخر والتنفس الحقيقي المحسوب باستخدام العيزان المائي المبسط ($ETR_{b.h}$)، حيث يلاحظ من خلال هذه الاشكال ان قيم التبخر والتنفس المحسوبة باستخدام علاقتنا المقترحة وقيمة المحسوبة باستخدام علاقة المؤلف " بوشيه " وصيغة الباحث " بريينيه " هي قيم متقاربة جداً، وذلك لأن مستقيمات التراجع الخطي الممثلة للعلاقات بين الطرق السابقة مأخوذة مثنى مثنى، هي مستقيمات منتظمة على المنصف تقربياً، بالمقابل فإن قيم التبخر والتنفس الحقيقي المستحصل عليها باستخدام العيزان المائي المبسط هي أعلى بقليل من القيم المستحصل عليها

النباتات في الأفاق المختلفة للترابة ، وما يتبع ذلك من تغيرات في كمونية الماء ضمن هذه الأفاق . ختاماً فإن هذه العلاقة المقترنة صالحة لحساب التبخر والتنفس الحقيقي اليومي في كافة أنواع التربة وفي مختلف أنواع المناخ بعد ادخال معامل تجريبي خاص بالتربة وآخر خاص بالمناخ في العلاقة الأساسية المقترنة، وانت الناتج لهذه العلاقة دخولاً سهلاً في إطار التعميم مادامت متجانسة مع الطرق المباشرة لقياس التبخر لنتائج حقيقي ومنسجمة مع صيغ حسابه .

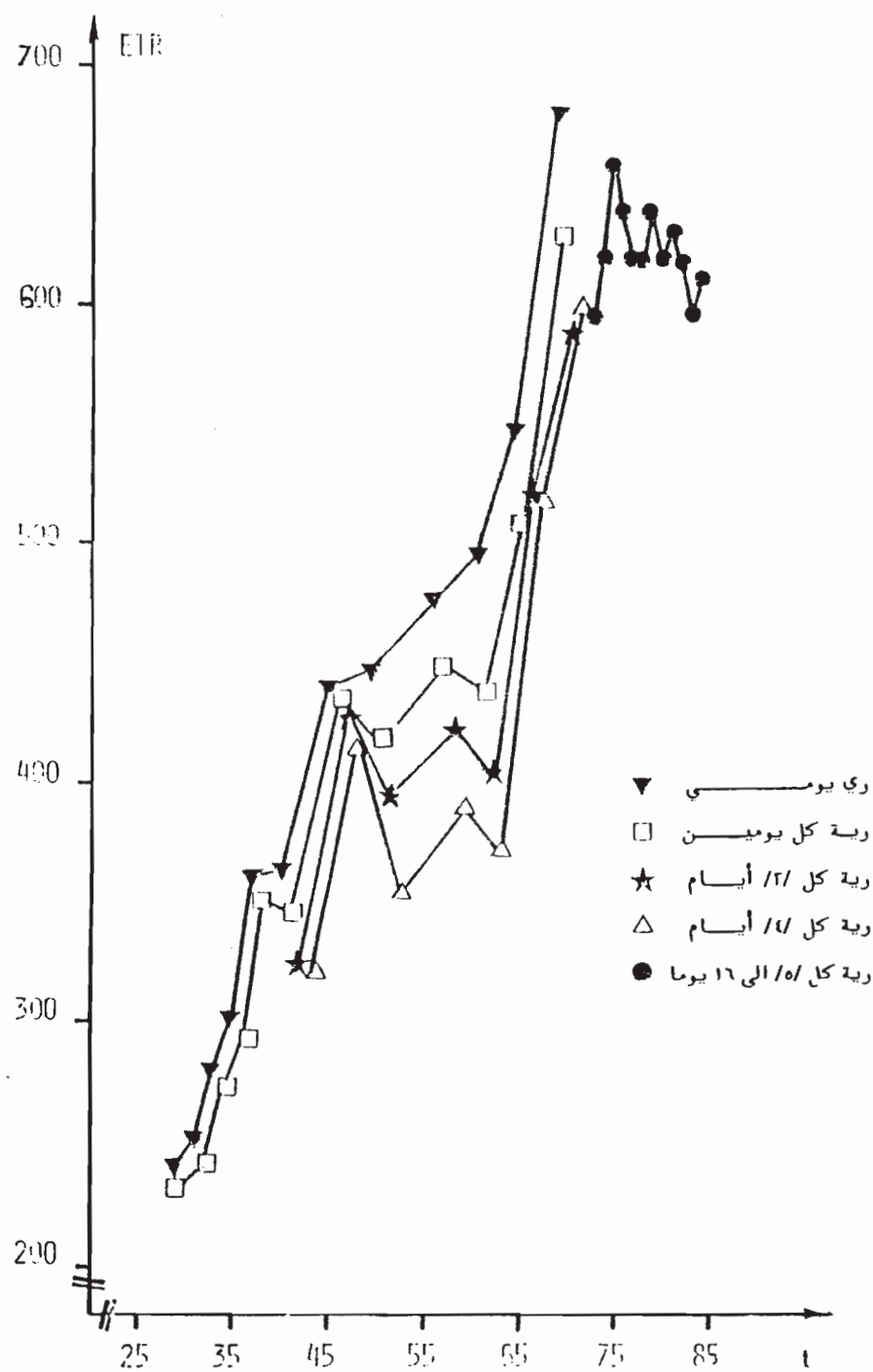
المعروفة كطريقة المؤلف " بوشيه " وطريقة الباحث " برنيه "، ومن ثم الطريقة التي تعتمد على الميزانية المائية للترابة نخلص إلى أن العلاقة التي قمنا باقتراحها لا تتفق مع الطرق الأخرى المعروفة فحسب، بل قد تكون الأكثر بساطة وربما الأكثر دقة بآن واحد، باعتبارها تستخدم حدوداً سهلة التعين دون احداث اضطراب في الوسط الطبيعي (قياسات غير مدمرة)، ولأنها تعكس بنفس الوقت ظروف المناخ المعبر عنها بالتبخر والتنفس الكامن وظروف امتصاص الماء المعبر عنها بانتشار المجموع الجذري

RÉSUMÉ

Nous avons déterminer une nouvelle relation qui peut donner l'évapotranspiration réelle (ETR) à partir de données empiriques simples . Dans cette relation , la demande énergétique climatique est représentée par l'évapotranspiration potentielle (ETP) , et l'état de l'offre hydrique du sol est représentée par le potentiel de l'eau dans le sol pondéré en fonction des profils de racines (Ψ_S) tel que : $ETR = \alpha + \beta_1 ETP + \beta_2 \Psi_S$, avec: α , β_1 , β_2 sont les coefficients de la régression multiple qui dépendent des types de sol et de climat . Cette relation est analogue à celle d'EAGLEMAN, 1971. Elle est testée en conditions contrôlées et sur le terrain en rapport avec les autres méthodes connues.

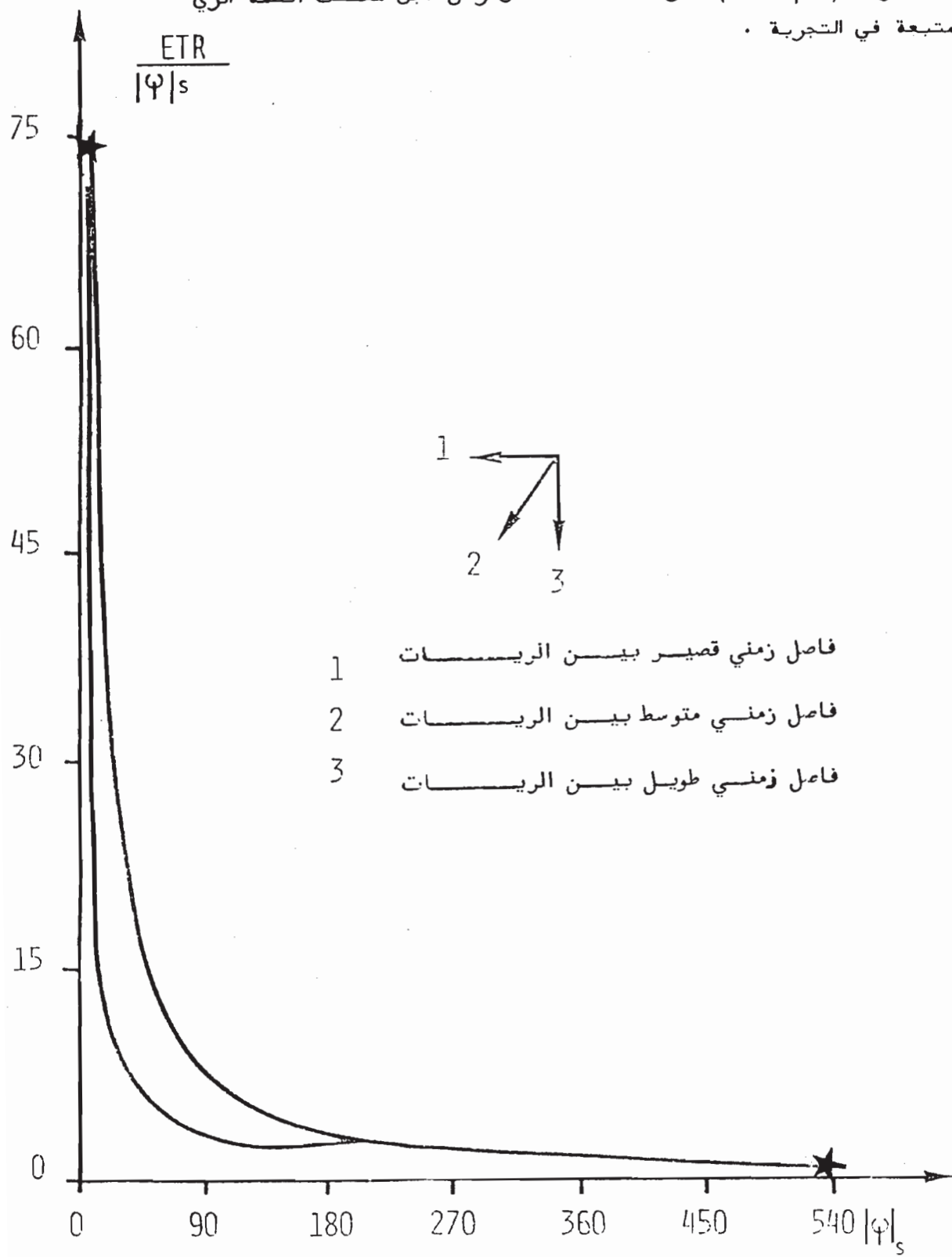
" Mots clés" : Évapo - Transpiration, Potentiel hydrique, profils de racines, Bilan hydrique, Bilan énergétique .

تغيرات التبخر والنتح الحقيقى اليومي ETR (غ/يوم) بدلالة الزمن (يوم بعد الزراعة)
من أجل مختلف أنظمة الري المتتبعة في التجربة .

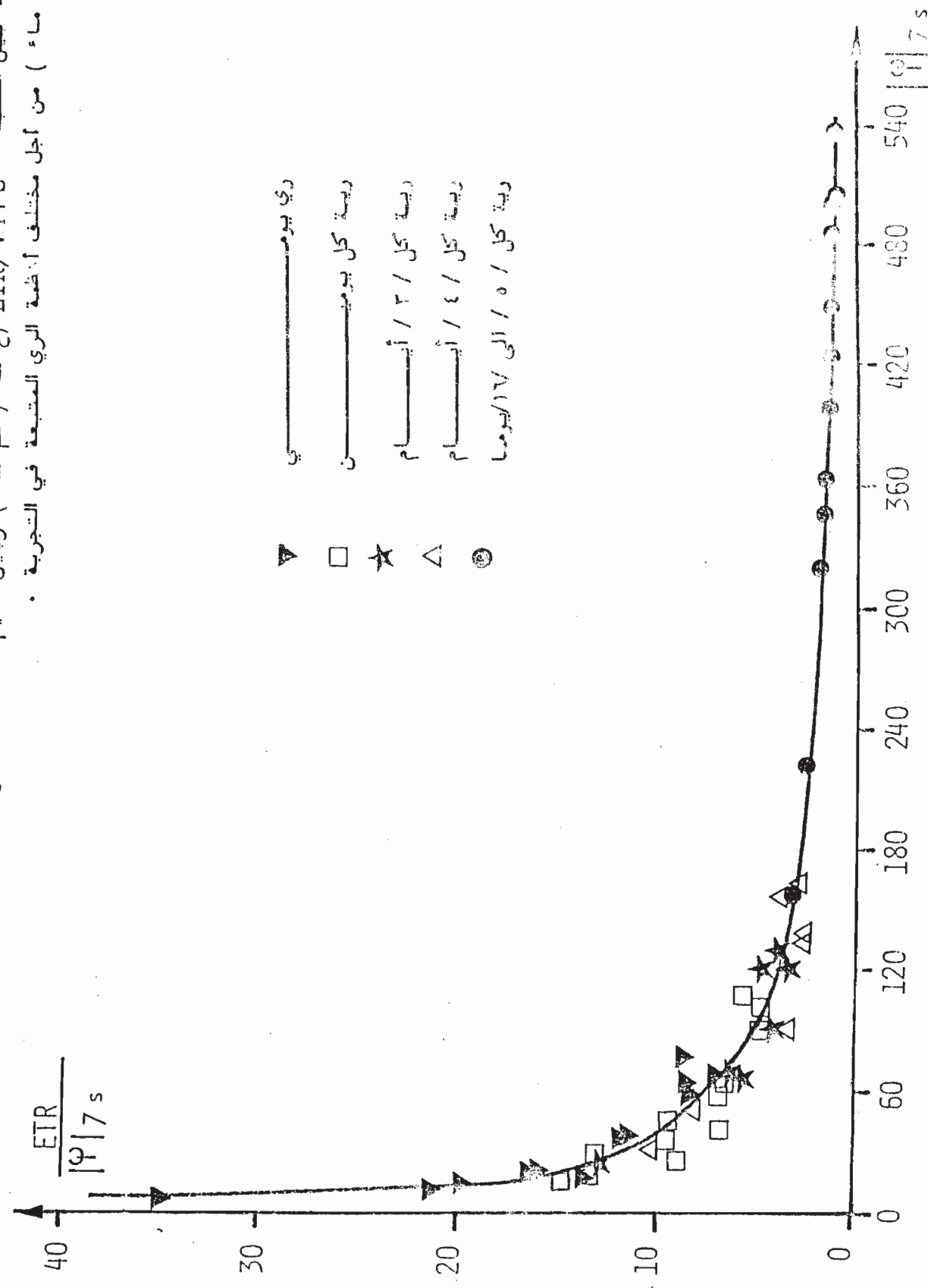


شكل رقم (٢) :

المنحنى المغلق لتغيرات النقاط التجريبية (٣٠٠ نقطة) الممثلة للعلاقة بين النسبة $S_{ETR/131}$ (غ ماء / سم ماء) وبين القيم المطلقة لكمون الماء ضمن التربة (سم ماء) على مختلف الأعمال ومن أجل مختلف أنظمة الري المتتبعة في التجربة .

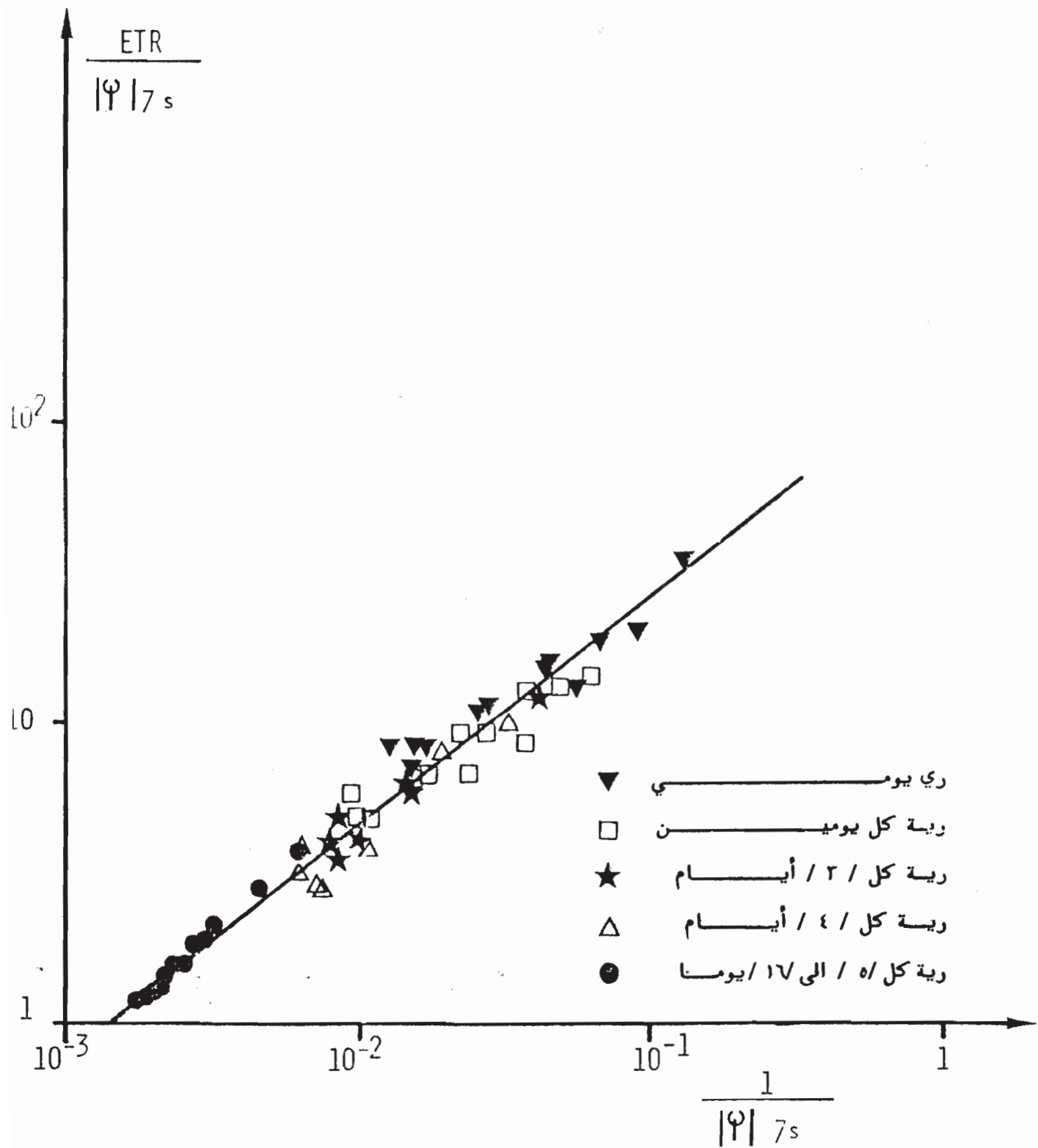


شكل (٢) :
ال العلاقة بين النسبة Ψ / Ψ_0 (ع ماء / س ماء) وبين التقييم المطلقة لكمون الماء على عمق ٧ سم ضمن التجربة .
(س ماء) من أجل مختلف أنواع الري المستجعة في التجربة .



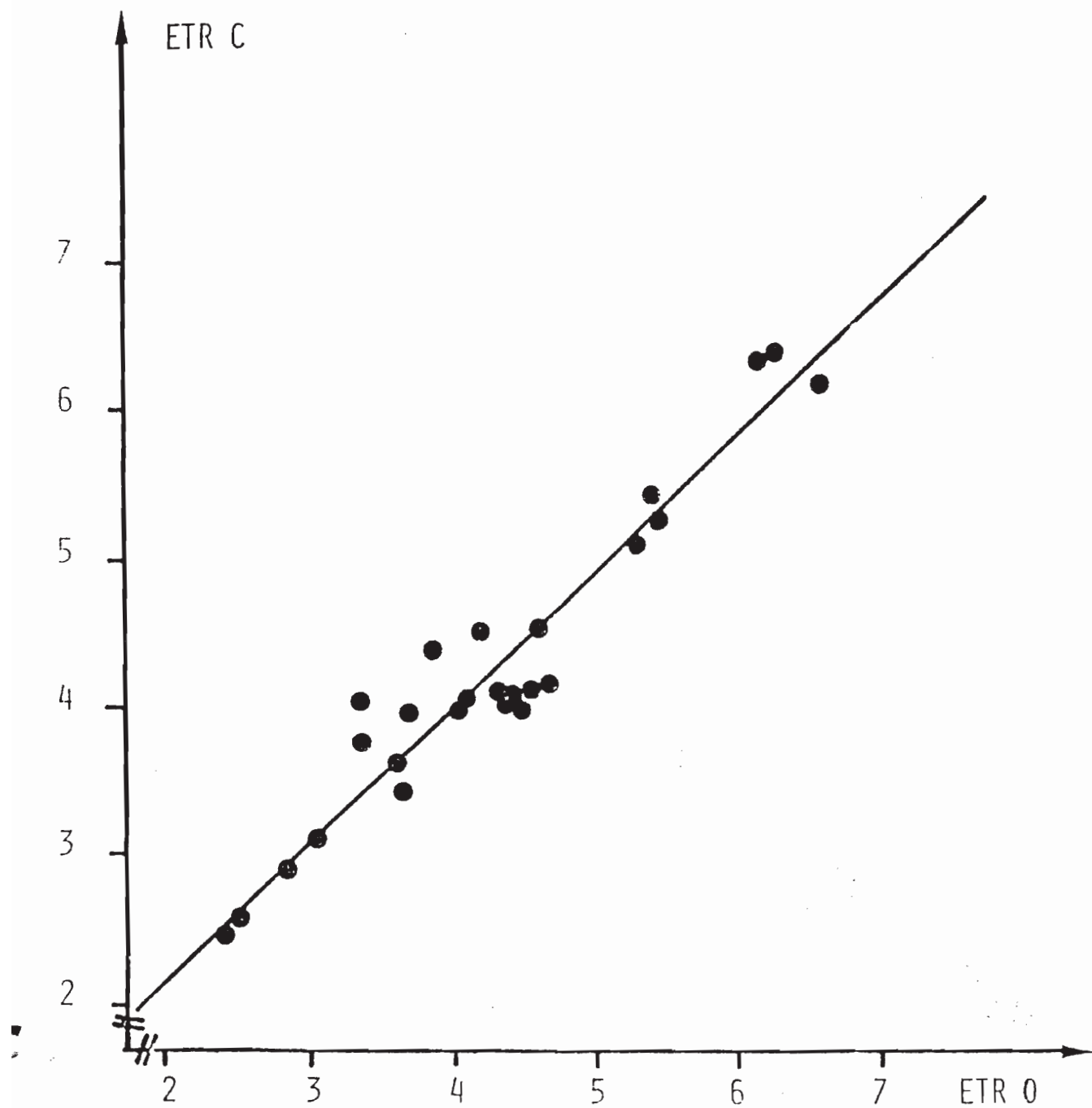
شكل (٤)

العلاقة اللوغاريتمية بين النسبة $\frac{ETR}{|\Psi|_7 s}$ (غماء / سم ماء) وبين
مقلوب كمون الماء ضمن التربة على عمق 7 سم ($\frac{1}{|\Psi|_7 s}$) من أجل
مختلف أنظمة الري المتبعه في التجربة .



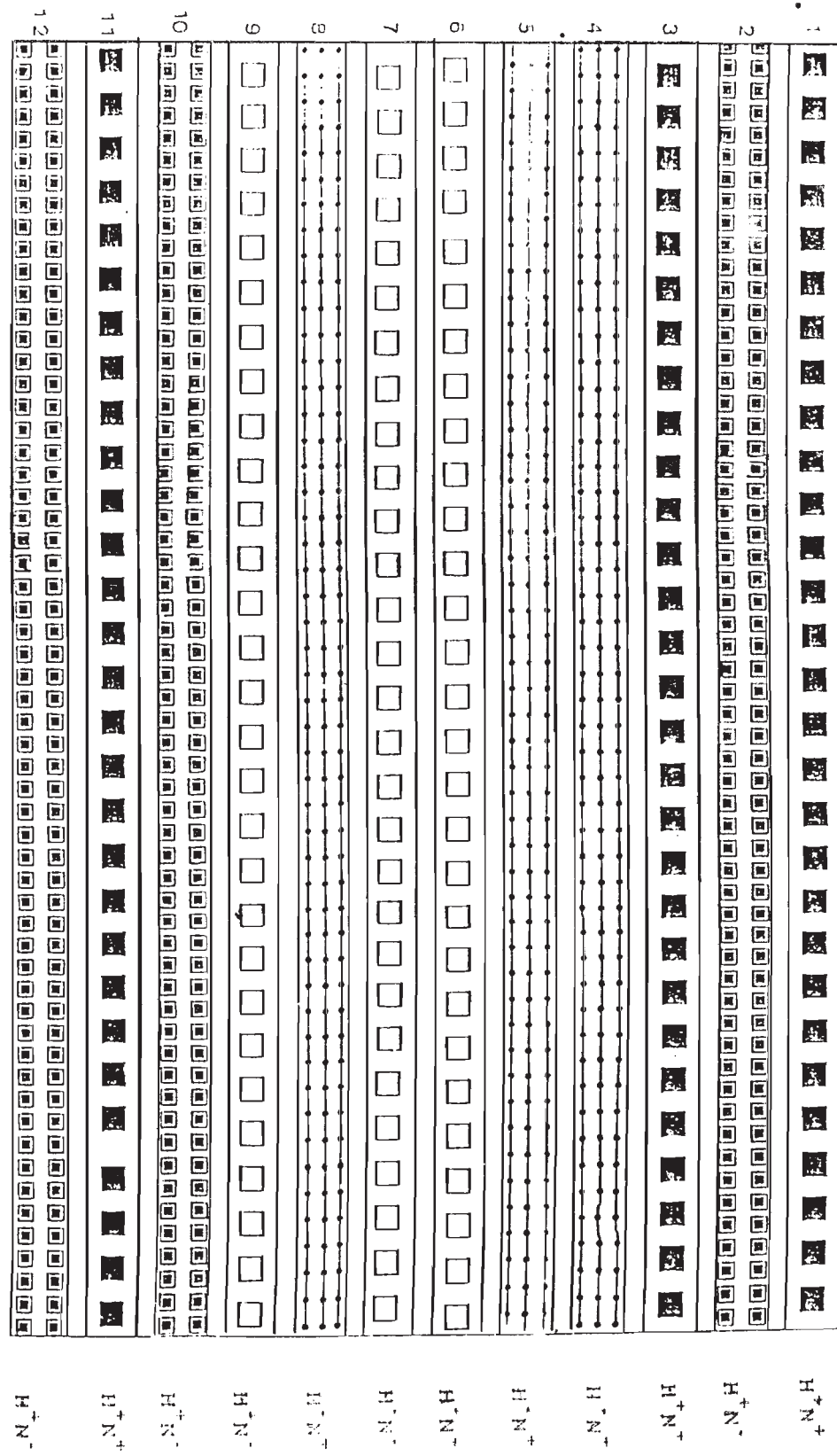
العلاقة بين التبخر والنتح الحقيقى المقاس ETRO (مم ماء / يوم) وبين
التبخر والنتح الحقيقى المحسوب ETRC (مم ماء / يوم انطلاقاً من التابع)

$$ETR = F(\bar{\Psi}_S, ETP)$$



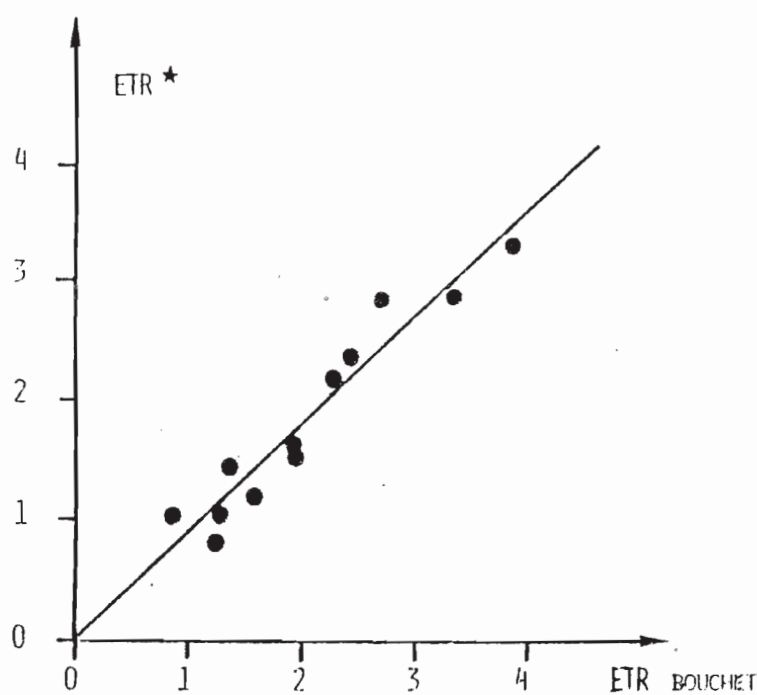
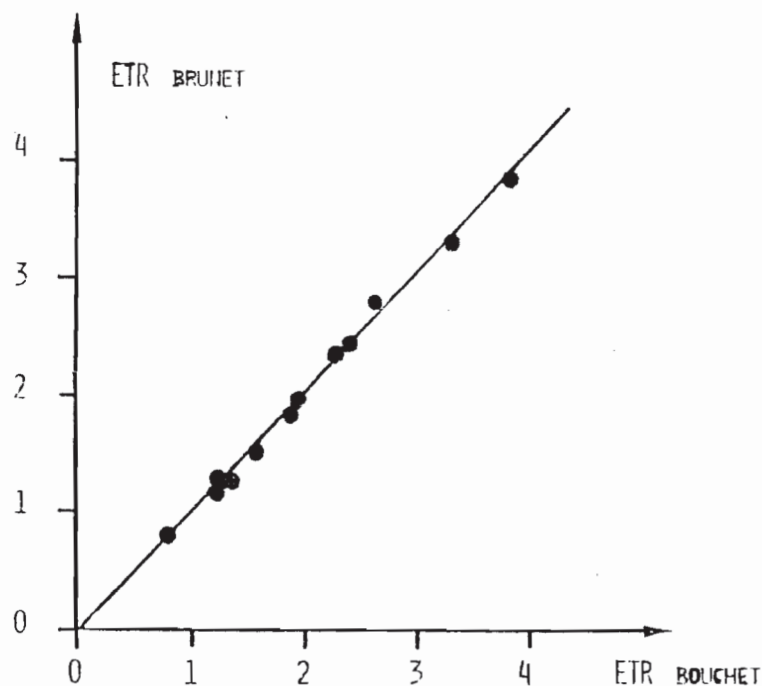
شكل (٦) :

مخطط يوضح كيفية تقسيم الحقل التجاري بغاية تطبيق المعاملات المائية والآروتية
في إطار التجربة الحقلية (مقياس $\frac{1}{100}$)



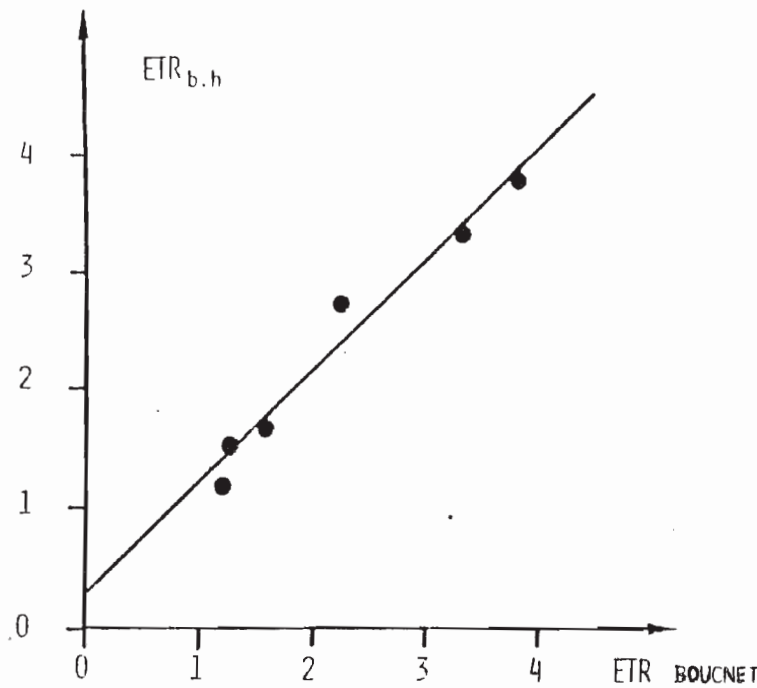
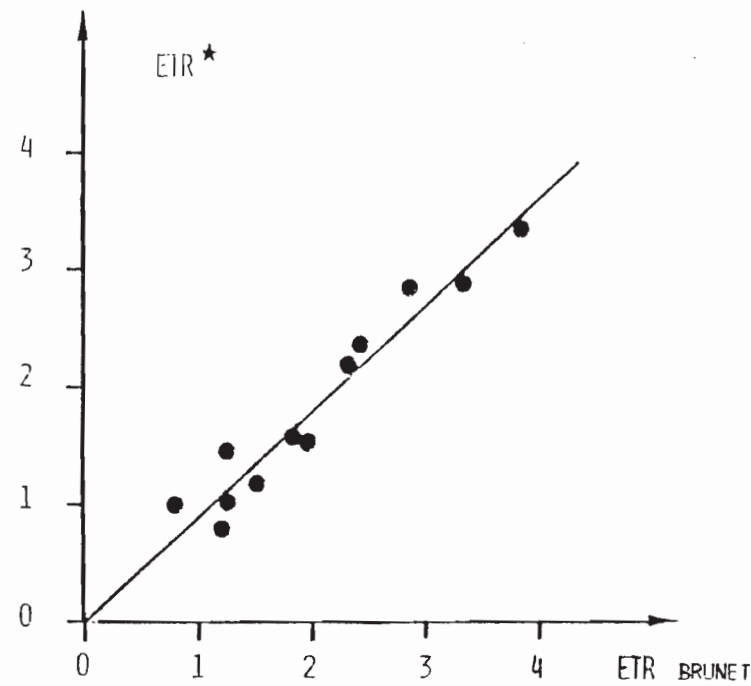
شكل (٢) :

مقارنة بين قيم التبخر والنتج الحقيقى اليومي (م ماء / يوم) المحسوبة باستخدام مختلف الصيغ (صيغة برونية، صيغة بوشيه ، ومن ثم صيغتنا المقترحة ETR^*) ضمن اطار التجربة الحقلية .



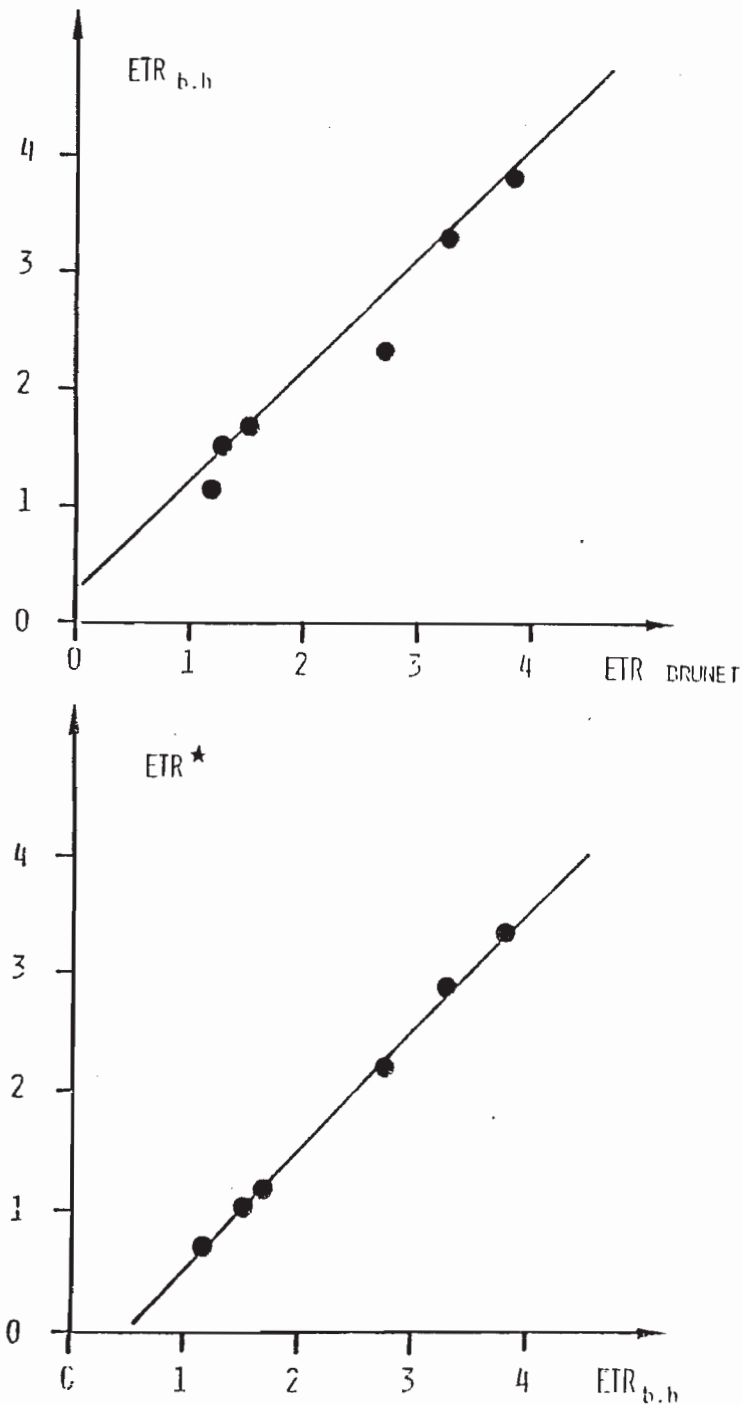
شكل (٨) :

مقارنة بين قيم التبخر والنتح الحقيقى اليومي ($\text{م}^3 \text{ م}^{-2} / \text{يوم}$) المحسوبة باستخدام مختلف الصيغ (صيغة برنيه ، صيغة بوشيه ، صيغتنا المقترنة $\text{ETR}_{b.h}$ ومن ثم الصيغة التي تستخدم المعزانية المائية ETR^* ضمن اطار التجربة الحقلية .



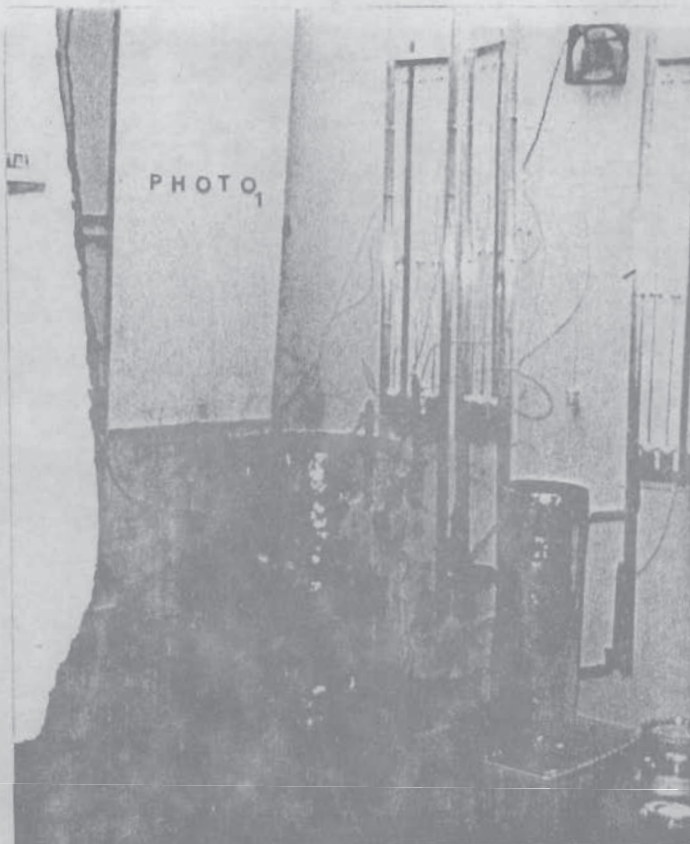
شكل (٩) :

مقارنة بين قيم التبخر والنتح الحقيقى اليومي ($\text{مم ماء} / \text{يوم}$) المحسوبة باستخدام مختلف الصيغ (صيغة برنيه ، صيغة بوشيه ، صيغتنا المقترنة $\text{ETR}_{b.h}$ ومن ثم الصيغة التي تستخدم الميزانية المائية ETR^* ضمن اطار التجربة الحقلية .



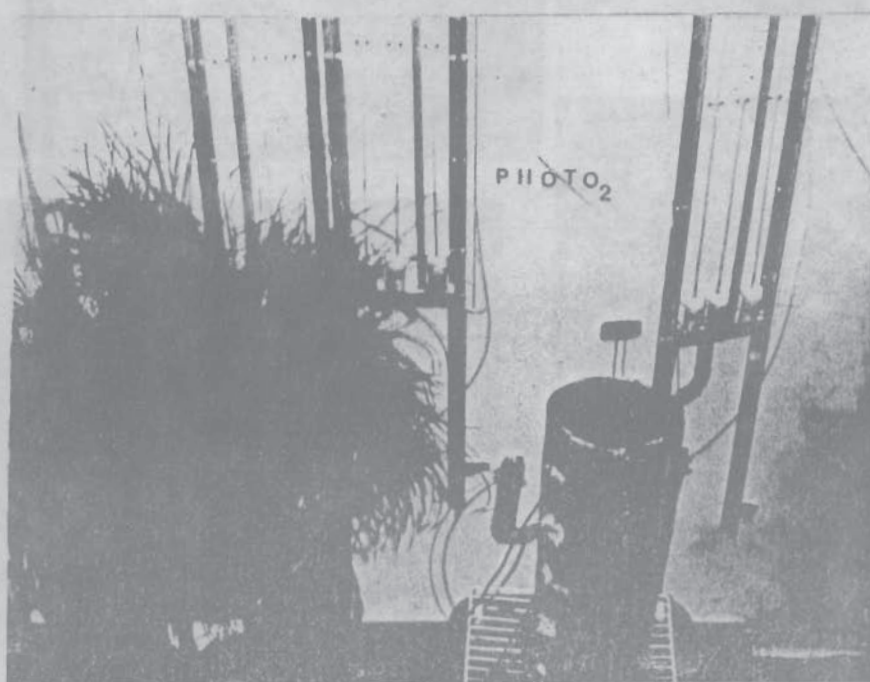
صورة رقم (١) :

كيفية الاعداد للتجربة المخبرية لتقدير التسخن والنتج الحقيقي ، حيث تظهر الاسطوانات التي وضعت فيها مقاطع التربة ووزرت ضمانتها أجهزة قياس توتر الماء على مختلف الأعمق .



صورة رقم (٢) :

آخر مراحل نمو النباتات في التجربة المخبرية، حيث تظهر أوراق نباتات الاصبعية، وقد تدللت خارجة من اطار محيط الاسطوانة المحتوية لها .



صورة توضح المنظر العام للتجربة الحقلية وبعض الاجهزه المستخدمة في قياس
عناصر الجو والرطوبة الارضية .



المراجـع

REFERENCES

- 1- BERGER,A.(1971):La circulation de l'eau dans le système sol - plant. Etude de quelques résistances en relation avec certains Facteurs du milieu. Thèse d'Etat. Univ. de Montpellier,224 P.
- 2- BERGER,A.(1981):Les transferts d'eau dans les tissus Végétaux. Etude expérimentale, modélisation.Sém.EC.Biol. Théor.,Maloine S.A.Editeur Paris,P.433 - 448.
- 3- BLACK,C.R.(1979): Aquantitative study of the resistances to transpirational water movement in sunflower (*Helianthus annus L.*)J.EXP. BOT., (118):947 - 953.
- 4- B.M.D.P (1979):Biomedical Computer programs.P.series University California press, 880 P.
- 5- BOUCHET-,R.J.(1964): Evapotranspiration réelle, transpiration potentielle et production agricole . In "L'eau et la production végétal" INRA,Paris,P.151 232 .
- 6- BRUNET, Y.(1981): La Paramétrisation des flux d'évaporation à l'interface sol- atmosphère dans les modèles de couches limites atmosphérique et planétaire: mise au point et Perspectives. Note interne, I.N.R.A, Bioclimatologie , Avignon 26 P.
- 7 - CLÉMENT.R.et GALAND,A . (1979):IRRIGATION par aspersion et réseaux Collectifs de distribution sous pression . Ed. Eyrolles Paris, 182 P.
- 8- CORNET,A.(1981):Le bilan hydrique et son rôle dans la production de la strate herbacée de quelques phytocénoses sahéliennes au Sénégal. Thèse DOC.Ing Univ. des Sciences et techniques du Languedoc 353 P.
- 9 -DAUDET,F.A.et VALANCOGNE, Ch.(1976):Mesure des Flux profonds de drainage ou de remontées capillaires . Leur importance dans le

- bilan hydrique. Ann.agron., 27(2):165-182.
- 10-DENMEAD,O.T.et SHAW,R.H . (1962):Availability of soil water to plants as affected by soil moisture content and meteorological conditions Agron.J., (54):385- 390 .
- 11-EAGLEMAN,J.R.(1971): An experimentally derived model for actual evapotranspiration . Agric.Meteorol. (8):385- 394 .
- 12- EHLERS,W.; GOSS.; BOONE , R.F.(1987):Tillage effects on soil moisture,ROOT development and crop water extraction . Plant research and development, Vol.25.P.92- 110
- 13-EL- KHODRE,A.(1984): Interaction chez le dactyle (*Dactylis glomerata L.*)de la croissance et du développement végétatif avec l'alimentation en eau et en azote. Application aux bilans hydriques et énergétiques et à la productivité d'une culture. Thèse d'ETAT.Univ.LOUIS Pasteur de strasbourg, I-texte 243P,II- Figures et annexes 204 P.
- 14-FRANQUIN,P.et FOREST,F.
- (1977):Des Programmes pour l'évaluation et l'analyse fréquentielle des termes du bilan hydrique Ann.Agron.Trop. 32(1):7 - 11 .
- 15-GARDNER,W.R.(1960):Dynamic aspects of water availability to plants.Soil Sci.(89) : 63- 73.
- 16-Goodall,D.W(1969)Simulating the grazing situation. Biomathematics F.Heinmets id.M.Dekher, New - york, Vol.,(1):211 - 236.
- 17-HALLAIRE,M.(1964): Le potentiel efficace de l'eau dans le sol en régime de dessèchement.In:l'eau et la production végétale, Ed.INRA,Paris,P.27 - 62.
- 18-HANSON,C.L.(1976):Model for predicting evapotranspiration from natives rangelands in the Northern Great plains. Trans.of the ASAE ,19, (3) : 471 - 481.
- 19-HUMBERT,J.(1982):Etude expérimentale et simulation de l'extraction de l'eau par les racines d'une graminée en régime de dessèchement. Une contribution à l'étude de l'évapotranspiration réelle ponctuelle Recherches Geographiques à -

- 155 - 168 .
- 20-KATERJI,N.;HALLAIRE,M.;
PERRIER,A.et DURAND,R.
(1983):Transfert hydrique
dans le végétal. I -
Modélisation à l'échelle
du couvert végétal en
conditions naturelles.Act.
oecol. plant;Vol.4(18),n°1,
P.11 - 26 .
- 21-NAJJAR,G.(1982):Méthode de
cartographie de l'évapotrans-
piration journalière en
moyenne montagne tempérée.
Application au bassin -
versant de Ringelbach
(Hautes vosges).Thèse 3^e
Cycle Univ.Luis Pasteur ,
Strasbourg, 168 Pages.
- 22-PENMAN,H.(1956):Evaporation.
An introductory survey.
Netherl.J.Agric . SCI ,(4):
9 - 29.
- 23- PERRIER,A.(1975):ETUDE
physique de l'évapotranspir -
ation dans les conditions
naturelles .I:Evaporation
et bilan d'énergie des
surfaces naturelles. Ann.
Agron.,26(1):1-18.II :
Expressions et paramètres
donnant l'évapotranspiration
réelle d'une surface mince
Ann.Agron.26(2): 105- 123.
III: Evapotranspiration
réelle et potentielle des
couverts vegetaux.Ann.Agron.,
26 (3):229 - 243 .
- 24-PRIESTLEY,C.H.B et TAYLOR
R.J.(1972):On the assessment
of surface heat flux and
evaporation Using large -
scale Parameters.Month .
Weath .Rev.,100(2):81-92.
- 25-RAMBAL,S. (1980):Modélisation
de l'utilisation de l'eau et de
la production vegetal d'une steppe a
a Rhantherium sauveolens desf.
de la zone aride sud -
tunisienne .thèse Doc. Ing
Univ.S.T.L, Montpellier ,
180 P.
- 26-RENGER,M. (1987):Water
consumption and plant yield.
plant research and developmt
vol .25.P.120 - 127 .
- 27-ROSE,C.W;BEGG,J.E; BYRNE,
G.F;TORSSELL,B.W.R.et GoNCZ
J.H.(1972):A simulation
model of Growth- Field
environment relationships
for Townsville stylo pasture
agric. Meteorol. , (10) :
161 - 183 .
- 28-VACHAUD,G;DANCETTE,C.;
SONKO,S.et THONY,J.L.(1978):
Méthodes de caractérisation
hydrodynamique in situ d'un
sol non saturé. Application
à deux types de sol du -

- Sénégal en vue de la -
détermination des termes
du bilan hydrique . Ann.
Agron., 29(1):1 - 36 .
- 29- VAN BAVEL,C.H.M.(1967) :
Changes in canopy resistance
to water loss from alfalfa
induced by soil water de-
pletion. Agric.Meteorol .
(4):165 - 176.
- 30-VAN BAVEL ,C.H.M.(1974) :
Soil water potential and
plant behaviour :A Case
modeling study with
sunflowers.Act.Oecol.plant
(9): 89 - 109 .
- 31- VAN BAVEL,C.H.M.et HAMED ,
J. (1976) :Dynamic simulation
of water depletion in the
root zone. Ecol.Model. (2)
P.189 - 212 .
- 32- VAN DEN HONERT,T.H.(1948)
Water transport in a
catenary process.Faraday
Soc., Discuss., (3): 146-
153 .
- 33-YU,O,GINTZBURGER,G.et
GOUNOT,M. (1975): Modèle de
fonctionnement d'un -
peuplement de dactylis
glomerata L.) en phase
Végétative .Approche
morphogénétique .
ACT.Oecol. plant.,10 (2):
107 - 139 .

E